

в ядре-мишени, Z — число протонов), т. е. числу таких пар нуклонов. Квазидейтронный механизм поглощения γ -квантов связывается с проявлением в ядре т. н. двухчастичных обменных токов (когда процесс проходит на мезоне, к-рым обмениваются нуклоны, или в промежуточном состоянии виртуально образуется Δ -изобара), а также двухчастичных нуклонных корреляций короткодействующего характера.

Нуклон, поглотивший γ -квант, получает достаточно большую энергию, к-рая позволяет ему покинуть ядро, не сформировав промежуточного состояния. При $E_\gamma \leq 100$ МэВ основным является канал с вылетом одного быстрого нуклона. Выше 100 МэВ осн. вклад в полное сечение приходится на канал с вылетом двух быстрых нуклонов.

В третьей области энергии γ за порогом образования pione и до 2 ГэВ длина волны γ -кванта становится порядка размеров нуклона и взаимодействие происходит в осн. с одним нуклоном. В сечении фотопоглощения на свободном нуклоне чётко проявляются 3 пика, отвечающие возбуждению Δ (1232 МэВ)-изобары и двух частиц-резонансов — N^* (1520 МэВ) и N^{**} (1680 МэВ). В том случае, когда γ -квант поглощается нуклоном, находящимся в ядре, пик, связанный с образованием Δ -изобары, проявляется столь же чётко, тогда как 2 остальных сильно уширяются. Такое «размытие» пиков во многом обусловлено движением нуклонов в ядре. В области возбуждения Δ -изобары характерно универсальное для всех ядер сечение — отношение σ/A (в пределах точности измерений) одинаково для всех ядер от Be до U. Это свидетельствует о том, что свойства свободной Δ -изобары не сильно изменяются в ядре.

Осн. каналами расщепления ядер в этой области энергии являются каналы с вылетом неск. нуклонов. В ядрах с $A > 200$ после вылета неск. нуклонов происходит деление. Обычно расщепление ядер сопровождается вылетом pione. С меньшей вероятностью идут процессы образования мезонов с малой передачей энергии ядру, когда оно остаётся в связанном состоянии.

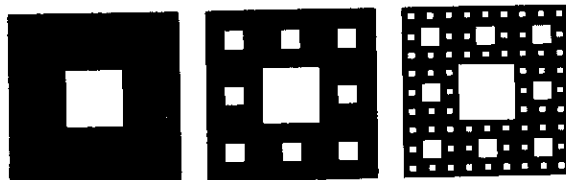
Когда энергия γ -кванта превышает 2 ГэВ (четвёртая область), в энергетич. зависимости $\sigma(\gamma)$ исчезает всякая структура. Само сечение оказывается слабо зависящим от энергии. Аналогично ведёт себя и полное сечение взаимодействия адронов с ядрами. Различие состоит только в том, что сечение поглощения γ -квантов меньше адронного на пост. величину, пропорциональную константе электромагнитного взаимодействия. Такое поведение сечения нашло объяснение в рамках т. н. модели векторной доминантности, согласно к-рой в этой области энергий γ -квант ведёт себя как векторные мезоны (см. Векторной доминантности модель). Одним из следствий такого поведения γ -кванта является то, что при его взаимодействии с ядром не все нуклоны оказываются равноправными, часть из них оказывается зазкрапленной. Это означает, что зависимость полного сечения поглощения от A должна иметь вид A^α , где $\alpha < 1$ (в эксперименте величина $\alpha \approx 0.9$). При дальнейшем росте γ , «точечный» γ -квант взаимодействует с кварками нуклона.

Лит. Барашенков В. С., Тонеев В. Д., Взаимодействия высокозергетических частиц и атомных ядер с ядрами, М., 1972; Giannini M. M., Ricco G., Photoreactions above the giant-dipole-resonance, «Riv. Nuovo Cim.», 1985, v. 8, p. 1; Недорезов В. Г., Ранюк Ю. Н., Фотоделение ядер за гигантским резонансом, К., 1989; Int. Rev. of Nuclear Phys., v. 7, Singapore, 1991.

R. A. Эрамжян.

ФРАКТАЛЫ — множества с крайне нерегулярной разветвлённой или изрезанной структурой. Термин «Ф.» предложен Б. Мандельбротом (B. Mandelbrot) [1], хотя подобные объекты изучались в математике с кон. 19 в. Простейшим примером Ф. является канторово множество, к-рое строится следующим образом. Из отрезка $[0, 1]$ выбрасывается центр. часть длиной $1/3$. Из полученных двух отрезков $[0, 1/3]$ и $[2/3, 1]$ также выбрасываются центр. части, составляющие $1/3$ длины отрезков, и т. д. В пределе получается нигде не плотное множество, имеющее мощность континуума и нулевую длину (меру Лебега). Процесс по-

строения канторова множества допускает многомерные обобщения. В двумерном случае единичный квадрат разбивается на первом шаге на девять квадратов со стороной $1/3$ и центр. квадрат выбрасывается. Затем та же процедура повторяется с каждым из оставшихся квадратов. Полученный в пределе Ф. наз. ковром Серпинского (см. рис., показаны первые 3 этапа построения).



Осн. характеристикой Ф. служит хаусдорфова, или фрактальная, размерность (Φ). По одному из определений Φ наз. множеством, для к-рого Φ строго больше топологич. размерности (см. также Топология). Φ строится следующим образом. Рассматривается произвольное покрытие ξ Ф. M конечным или бесконечным набором шаров $\{O_i\}$ радиуса $r_i < \epsilon$. Размерность Φ наз. такое число $d \geq 0$, что

$$\inf \sum_i r_i^d \rightarrow 0 \text{ при } \epsilon \rightarrow 0 \text{ для всех } d > \Phi \text{ и } \inf \sum_i r_i^d \rightarrow \infty \text{ при } \epsilon \rightarrow 0$$

для всех $d < \Phi$. Можно показать, что такое пограничное Φ существует и единственno. Для канторова множества $\Phi = \ln 2 / \ln 3$, а для двумерного ковра Серпинского $\Phi = \ln 8 / \ln 3$. Примерами естеств. Ф. являются береговая линия материки и островов, снежинки, броуновские кривые и т. д. Соответствующие ФР либо вычисляются, либо определяются экспериментально.

Большой интерес к Ф. в физ. литературе связан с тем, что Ф. возникают в реальных физ. задачах, причём в типичных, а не экзотич. ситуациях. Наиб. часто Ф. встречаются в задачах нелинейной динамики, гидродинамики, статистич. механики, и в частности в теории фазовых переходов, в теории полимеров, в хим. кинетике и др.

В нелинейной динамике Ф. возникают как аттракторы у диссипативных динамических систем. Аттракторами наз. множества в фазовом пространстве, притягивающие траектории динамич. системы. При этом, если аттрактор является Ф., его наз. *странным аттрактором*. Существование странных аттракторов является типичным свойством диссипативных динамич. систем. В случае дискретных отображений примером может служить аттрактор Фейгенбаума (см. Фейгенбаум универсальность). Хорошо изучен механизм образования и свойства аттрактора Лоренца (E. Lorenz), отвечающего системе ур-ний Лоренца

$$\begin{aligned} \dot{x} &= -\sigma(x-y), \\ \dot{y} &= -xz + rx - y, \\ \dot{z} &= xy - bz \end{aligned}$$

при значениях параметров $r = 28$, $b = 8/3$, $\sigma = 10$ [2]. Локально аттрактор Лоренца имеет структуру прямого произведения канторова множества на двумерную плоскость (т. н. книга Лоренца). Наиб. важным примером фрактальных аттракторов являются странные аттракторы, возникающие в ур-ниях Навье — Стокса ([3], [4]).

Примером Ф. в статистич. механике может служить критич. бесконечный проводящий кластер, возникающий в задачах протекания теории. В наиб. характерных случаях проводящий кластер состоит из связного набора рёбер d -мерной целочисленной решётки \mathbb{Z}^d , поэтому определение ФР, данное выше, требует уточнения, к-рое делается следующим образом. Введём число рёбер $N(R)$ кластера, находящихся внутри шара радиусом R . Тогда $N(R) \sim \text{const } R^v$, где константа v и выбирается в качестве ФР или размерности подобия. Значение v зависит от размерности решётки d и определяется численно: $v(d=2) \approx 1.9$; $v(d=3) \approx 2.5$. Отдельно изучают остов или «скелет» проводящего кластера, т. е. ту часть кластера, по к-рой течёт ток (отbrasываются «мёртвые концы»). ФР v_1 «скелета» бесконечного